

الاتحاد الدولي للاتصالات

ITU-R

قطاع الاتصالات الراديوية في الاتحاد الدولي للاتصالات

ITU-R M.1874-1
(2013/02)

**الخصائص التقنية والتشغيلية للرادارات
الأوقيانوسغرافية العاملة في النطاقات
الفرعية في مدى التردد MHz 50-3**

M السلسلة

**الخدمة المتنقلة وخدمة التحديد الراديوي للموقع
وخدمة الهواة والخدمات الساتلية ذات الصلة**



تمهيد

يضطلع قطاع الاتصالات الراديوية بدور يتمثل في تأمين الترشيد والإنصاف والفعالية والاقتصاد في استعمال طيف الترددات الراديوية في جميع خدمات الاتصالات الراديوية، بما فيها الخدمات الساتلية، وإجراء دراسات دون تحديد مدى الترددات، تكون أساساً لإعداد التوصيات واعتمادها. ويؤدي قطاع الاتصالات الراديوية وظائفه التنظيمية والسياسية من خلال المؤتمرات العالمية والإقليمية للاتصالات الراديوية وجمعيات الاتصالات الراديوية بمساعدة لجان الدراسات.

سياسة قطاع الاتصالات الراديوية بشأن حقوق الملكية الفكرية (IPR)

يرد وصف للسياسة التي يتبعها قطاع الاتصالات الراديوية فيما يتعلق بحقوق الملكية الفكرية في سياسة البراءات المشتركة بين قطاع تقنيين للاتصالات وقطاع الاتصالات الراديوية والمنظمة الدولية للتوحيد القياسي واللجنة الكهربائية الدولية (ITU-T/ITU-R/ISO/IEC) والمشار إليها في الملحق 1 بالقرار 1 ITU-R. وتعد الاستثمارات التي ينبغي لحاملي البراءات استعمالها لتقسيم بيان عن البراءات أو للتصریح عن منح رخص في الموقع الإلكتروني <http://www.itu.int/ITU-R/go/patents/en> حيث يمكن أيضاً الإطلاع على المبادئ التوجيهية الخاصة بتطبيق سياسة البراءات المشتركة وعلى قاعدة بيانات قطاع الاتصالات الراديوية التي تتضمن معلومات عن البراءات.

سلسلة توصيات قطاع الاتصالات الراديوية

(يمكن الإطلاع عليها أيضاً في الموقع الإلكتروني <http://www.itu.int/publ/R-REC/en>)

السلسلة	العنوان
BO	البث الساتلي
BR	التسجيل من أجل الإنتاج والأرشفة والعرض؛ الأفلام التلفزيونية
BS	الخدمة الإذاعية (الصوتية)
BT	الخدمة الإذاعية (التلفزيونية)
F	الخدمة الثابتة
M	الخدمة المتنقلة وخدمة تحديد الموضع وخدمة الهواة والخدمات الساتلية ذات الصلة
P	انتشار الموجات الراديوية
RA	علم الفلك الراديوبي
RS	أنظمة الاستشعار عن بعد
S	الخدمة الثابتة الساتلية
SA	التطبيقات الفضائية والأرصاد الجوية
SF	تقاسم الترددات والتنسيق بين أنظمة الخدمة الثابتة الساتلية والخدمة الثابتة
SM	إدارة الطيف
SNG	التحجيم الساتلي للأخبار
TF	إرسالات الترددات المعيارية وإشارات التوقيت
V	المفردات والمواضيع ذات الصلة

ملاحظة: ثُمت الموافقة على النسخة الإنكليزية لهذه التوصية الصادرة عن قطاع الاتصالات الراديوية بموجب الإجراء الموضح في القرار 1 ITU-R.

النشر الإلكتروني
جنيف، 2014

التوصية 1 M.1874-ITU-R

الخصائص التقنية والتشغيلية للرادارات الأقیانوغرافية العاملة في النطاقات الفرعية في مدى التردد MHz 50-3

(المسألة 240/5 ITU-R)

(2009-2010-2013)

مجال التطبيق

تخدم هذه التوصية الخصائص التقنية والتشغيلية للرادارات الأقیانوغرافية لاستخدامها في دراسات التقاسم والتواافق وتحطيط الطيف وأنظمة النشر داخل النطاق 3 إلى 50 MHz. وهي تقدم الخصائص ذات الصلة لأنظمة قياس المدى القصير، والمدى المعياري، والمدى الطويل، والمدى الطويل جداً وأنظمة القياس الأقیانوغرافية عالية الاستبانة.

إن جمعية الاتصالات الراديوية للاتحاد الدولي للاتصالات،

إذ تضع في اعتبارها

أ) أن ثمة حاجة لتشغيل أنظمة الرادارات الأقیانوغرافية في خدمة الاستدلال الراديو¹، باستعمال طيف تردد في المدى 3 إلى 50 MHz؛

ب) أن المؤتمر العالمي للاتصالات الراديوية لعام 2012 وزع عدداً من نطاقات التردد بين 3 و50 MHz لتشغيل هذه الترددات؛

ج) أن ثمة اهتماماً عالمياً بنشر أنظمة التشغيل في جميع أنحاء العالم؛

د) أن متطلبات الأداء والوظائف والبيانات هي التي تحدد عادة المدى الطيفي الذي يمكن استخدامه في أنظمة رادارات رصد المحيطات،

وإذ تصر

بأن الخصائص التقنية والتشغيلية التمثيلية لأنظمة الرادارات الأقیانوغرافية مطلوبة لإدارة الطيف وتحطيط النشر،

توصي

1. بمراعاة الجوانب التقنية والتشغيلية التمثيلية لأنظمة الرادارات الأقیانوغرافية الواردة في الملحق، ينبغي مراعاتها عند إجراء دراسات التقاسم والتواافق مع الأنظمة العاملة في الخدمات الأخرى؛

2. بمراعاة الجوانب التقنية والتشغيلية للرادارات الأقیانوغرافية الواردة في الملحق لأغراض التخطيط.

¹ يمثل كل من التحديد الراديو^ي للموقع والملاحة الراديو^ي خدمتين فرعيتين لخدمة الاستدلال الراديو^ي.

الملاحق

الخصائص التقنية والتتشغيلية للرادارات الأوقیانوغرافية العاملة في النطاقات الفرعية في مدى التردد MHz 50-3

مقدمة

1

تعيش نسبة كبيرة من سكان العالم في شريط ساحلي بطول 50 ميلاً، الأمر الذي يشدد من ضرورة وضع قياسات صحيحة وموثوقة وتفصيلية عن المتغيرات البيئية الساحلية.

فكما توفر الرياح في الغلاف الجوي معلومات عن مكان وزمان حدوث أنظمة الطقس، تحدد تiarات المحيطات حركة الظواهر المحيطية. ويستخدم كل من هذه التدفقات الدينامية في تحديد الأماكن التي تنتقل إليها الملوثات، طبيعية كانت أم من صنع الإنسان. غير أن قياسات تiarات المحيطات، في الوقت الحالي، ليست متوافرة وجاهزة كما هو الحال مع قياسات الرياح.

ونتيجة ذلك، يتزايد الاهتمام بإمكانية قياس تiarات والأمواج قياساً صحيحاً في المياه الساحلية. إذ تتمتع أنظمة الرادار العاملة بترددات أعلى من 50 MHz بقدرة محدودة على توفير بيانات تلبى المتطلبات المتعلقة بمدى التيار والدقة والاستبانة. وتعمل المجموعة العالمية لدراسة المحيطات على وضع خطة لتنفيذ شبكة رادارات لرصد سطح البحر في المناطق الساحلية. وتشمل الفوائد التي تعود على المجتمع من تحسين قياس تiarات الساحلية وحالة البحر تحسن فهم قضايا من قبيل التلوث الساحلي وإدارة مصائد الأسماك والبحث والإنقاذ وتحات الشواطئ والملاحة البحرية وانتقال الرواسب والتسونامي والانعكاس الرئيسي للموجات السطحية المرتبط بذلك (انظر التذليل). وتتوفر قياسات الرادار الساحلية لسطح البحر الدعم لعمليات الأرصاد الجوية من خلال جمع بيانات عن حالة البحر وأمواج المحيطات السائدة. ولتكنولوجيا الرادارات الأوقیانوغرافية، فضلاً عن ذلك، تطبيقات في نظام الوعي بالمخاطر البحري العالمي وذلك عن طريق إتاحة الاستشعار طويلاً المدى لسفن السطح، وهو ما من شأنه أن يعود بالنفع على السلامة والأمن العالميين للنقل البحري والموانئ².

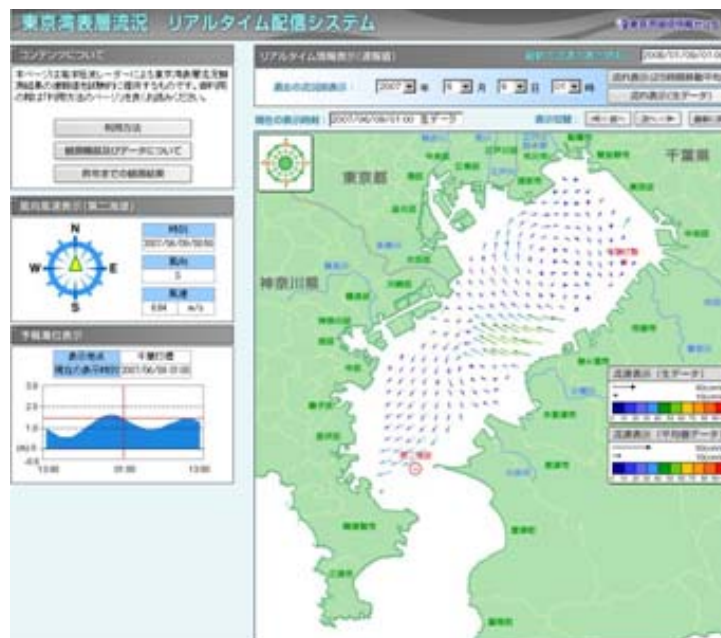
وقد نُظر في استخدام التشغيلي لشبكات الرادارات الأوقیانوغرافية على نطاق عالمي نظراً للحاجة إلى إتاحة المزيد من المعلومات لتخفييف آثار الكوارث، بما في ذلك أمواج تسونامي، وفهم تغير المناخ، وضمان السلامة في السفر البحري.

ويبين الشكلان 1 و 2 تنفيذ هذه الأنظمة في اليابان.

² استخدام تكنولوجيا الرادار للتطبيقات الخاصة بدينامية المحيطات الساحلية (CODAR) في تحطيط عمليات البحث والإنقاذ لحرس سواحل الولايات المتحدة الأمريكية، ديفيد أولمان؛ جيمس أودونيل؛ كريستوفر إدواردز؛ تود فيك؛ ديفيد مورشاوزر؛ مركز بحوث وتطوير حرس السواحل بغروتون، ولاية كونيكت.

الشكل 1

مثال على رصد تيار سطحي باستخدام رادارات أوقيانوسغرافية في نظام مراقبة خليج طوكيو الذي تديره وزارة الأرض والبنية التحتية والنقل والسياحة في اليابان

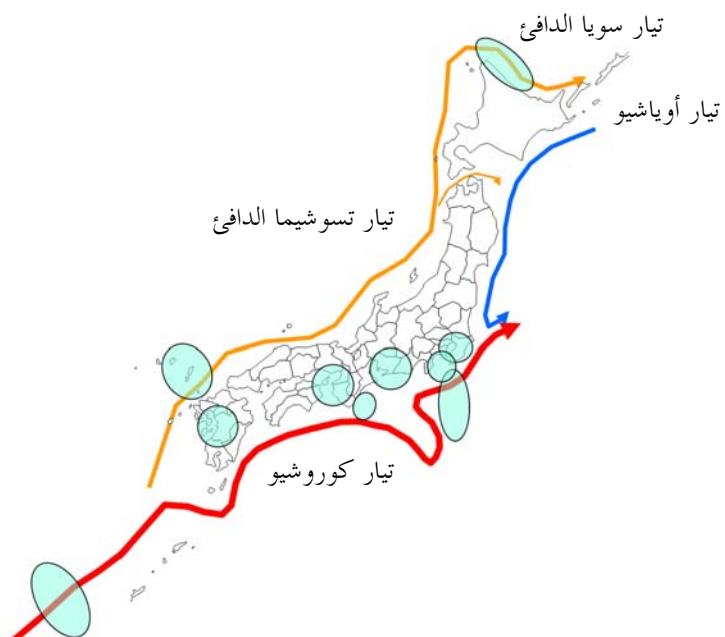


M.1874-01

الشكل 2

الرادارات الأوقيانوسغرافية في اليابان

(تبين مناطق الرصد بالنسبة لكل موقع رadar ثابت)

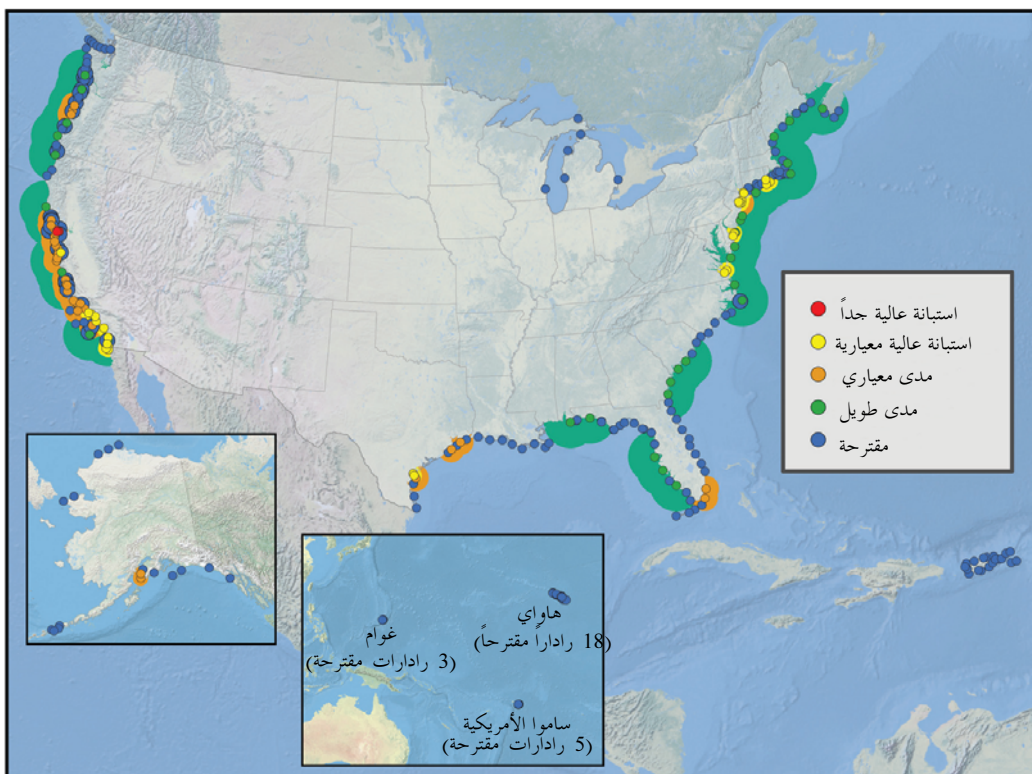


M.1874-02

واعتباراً من 2009، تم نشر 143 راداراً أوقيانوغرافياً على نحو غير متساوٍ في كل أنحاء المناطق الساحلية في الولايات المتحدة الأمريكية (ويشمل هذا الإجمالي الرادارات التي لا تعمل حالياً بصورة منتظمة). وتملك أقسام البحث في الجامعات في الولايات المتحدة الأمريكية وتشغل جميع أنظمة الرادارات الأوقيانوغرافية تقريباً. وبين الشكل 3 موقع الرادارات الأوقيانوغرافية الحالية والمقرحة في الولايات المتحدة الأمريكية ومنطقتي جزر المحيط الهادئ والبحر الكاريبي.

الشكل 3

موقع الرادارات الأوقيانوغرافية الحالية والمقرحة في الولايات المتحدة الأمريكية
ومنطقتي جزر المحيط الهادئ والبحر الكاريبي



M.1874-03

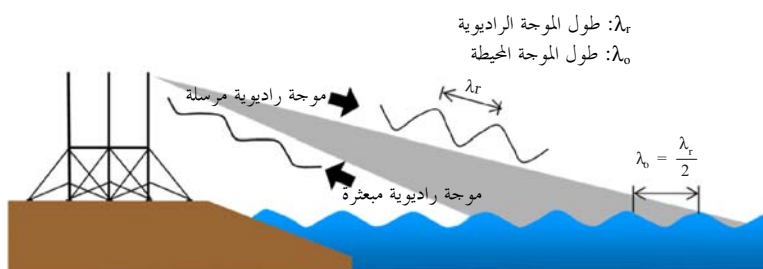
وتشمل خطة تطوير النظام المتكامل لرصد المحيطات (IOOS) إنشاء شبكة لموقع رصد الرادارات الأوقيانوغرافية وهي جزء من النظام العالمي لرصد المحيطات (GOOS) الذي يمثل، بدوره، مكوناً جوهرياً في المنظومة العالمية لنظم رصد الأرض (GEOSS).

2 مبدأ التشغيل

في الرادارات الأقianoغرافية التي تستعمل تبعثر براوغ (Bragg Scattering)³، يكون للمدى التردد من 3 إلى 50 MHz (طول الموجة من 100 إلى 6 أمتار) فائدة كبيرة في قياس الموجات المحيطية التي تحركها الرياح (انظر الشكل 4). وتكون الاستبانة المكانية للرادار محدودة بعرض نطاق الإشارة، على سبيل المثال، يوفر عرض النطاق من 100 إلى 300 kHz استبانة تصل إلى 1,5 km على التوالي⁴.

الشكل 4

صورة تخطيطية لانتشار الموجات الراديوية وتبعثر براوغ



M.1874-04

وتتمثل أهداف هذه الأنظمة في الحصول على معلومات مستمرة وآنية عن التشغيل البيئي (مثلاً، منع ومكافحة التلوث) وتقدم خدمات التخفيف من آثار الكوارث (مثلاً، الكشف عن أمواج تسونامي) وتقدم خدمات السلامة البحرية (مثلاً، رصد التيارات المحيطية ومراقبة حالة البحر) عن طريق الرادارات الأقianoغرافية.

وتعمل المعلمات الفيزيائية التي تقيسها الرادارات الأقianoغرافية وما يتصل بها من متطلبات أداء على تحديد المدى التردد الذي يدعم جمع البيانات. وتستخدم الرادارات الأقianoغرافية المستعملة في رصد المحيطات السطح الحشن للمحيط لقياس تيارات المحيطات وحالة البحر. فعندما يساوي التباعد بين الموجات على سطح المحيط نصف طول الموجة التردد المستعمل في الرادارات الأقianoغرافية، تعكس إشارة قوية مرتدة في اتجاه الرadar. وتُعرف هذه الظاهرة بـتبعثر براوغ. ويمثل المدى الترددي 3 إلى 50 MHz أهمية كبيرة بالنسبة لعمليات رادارات الرصد الأقianoغرافية إذ توجد الموجات المحيطية دوماً حيثما كان التباعد بين الموجات متناسباً مع التردد التشغيلي للرادار. فتستخدم الاستبانة الزمنية العالية لأغراض التخفيف من آثار الكوارث في حين تستخدم الاستبانة المكانية العالية لأغراض التشغيل البيئي. وفضلاً عن ذلك، يسمح قياس الإزاحة الدوبلرية لارتداد الإشارات للمسغلين بقياس الخصائص الأخرى لحالة البحر وتيارها.

ومثل تقنية نبضات الموجة المستمرة وتقنية زرقات الموجات المستمرة بتشكيل التردد الخطية تقنيتي الإرسال المستخدمتين في الرادارات الأقianoغرافية. ويرد في الجدول 1 قائمة بالمعلمات الخاصة برادر أوقيانوغرافي نمطي.

³ عندما يساوي طول الموجة السطحية المرسلة نصف طول الموجة السطحية في المحيط، تردد إشارة معكسة قوية في اتجاه الرادار.

⁴ الاستبانة L ، وسرعة الضوء c (km/s 300 000) وعرض النطاق fc لهم العلاقة $c/2L = fc$.

الجدول 1

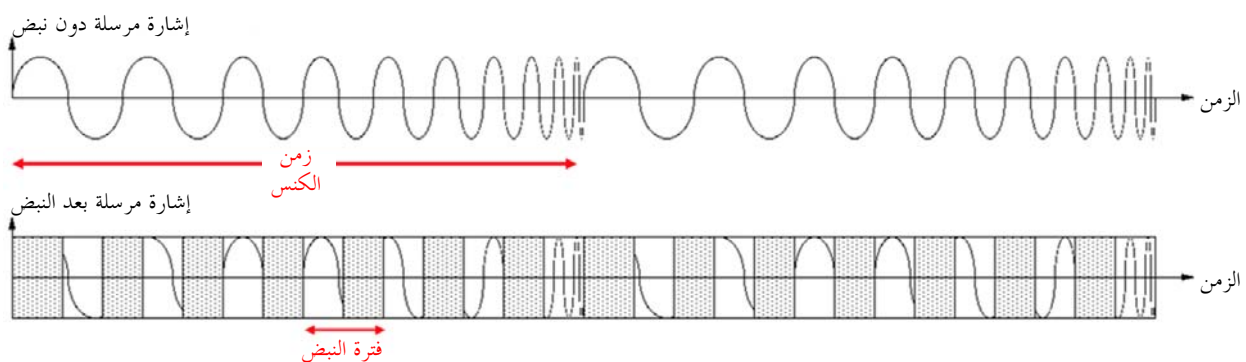
قائمة بعلامات أشكال الموجات لرادار أوقيانوغرافي غطي

دورة العمل (%)	فتره النبض (Tpulse Period) (μs)	زمن الكنس (Tsweep) (s)	عرض نطاق الكنس (kHz)	التردد المركزي (MHz)
50	1 946	1	25,6	4,53
50	669	0,5	49,4	13,46
50	486	0,5	101	24,65

ويوضح الشكل 5 هيكل أشكال الموجات للرادارات الأوقيانوغرافية النمطية. ويمثل شكل الموجة الموضح في أعلى الصورة إشارة موجة مستمرة بتشكيل التردد (FMCW). ويمثل شكل الموجة الموضح في أدنى الصورة إشارة مدخلة.

الشكل 5

هيكل غطية لأشكال الموجات الأوقيانوغرافية



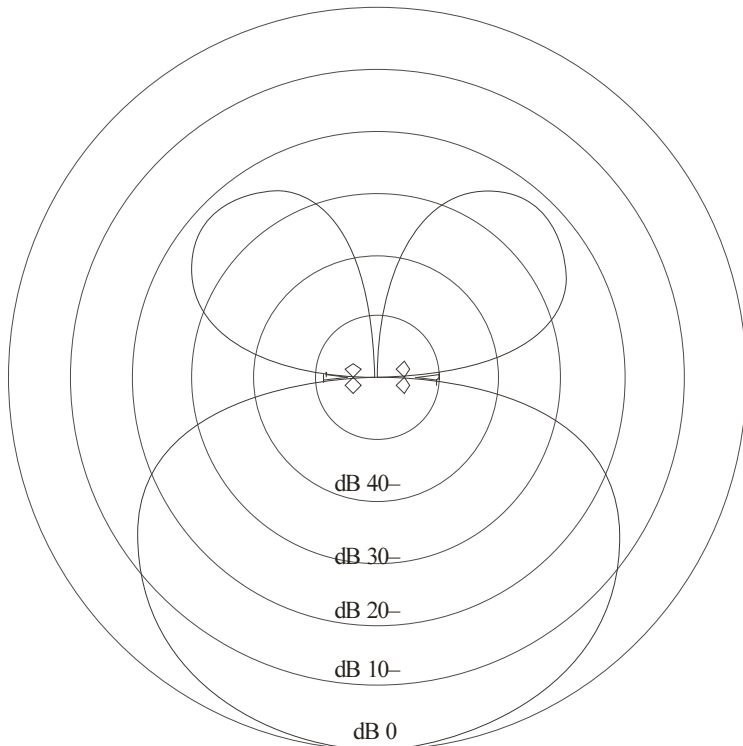
M.1874-05

3 هوائيات الرادارات الأوقيانوغرافية

تُستخدم حالياً مجموعة متنوعة من الهوائيات في أنظمة الرادارات الأوقيانوغرافية لرصد المحيطات. فتستخدم بعض الأنظمة إما هوائي ياغي ثلاثي العناصر أو نظام صفييف مطاور من أجل الكنس في اتجاه زاوية السمت باستخداممجموعات متعددة من هوائيات ياغي للإرسال، مما يضع حدوداً للمنطقة الجغرافية التي تنتشر عليها إشارة الرadar الأوقيانوغرافي. وتبيّن الأشكال 6 و 7 وبعض الأنماط المعتادة لهوائيات الرادارات الأوقيانوغرافية.

الشكل 6

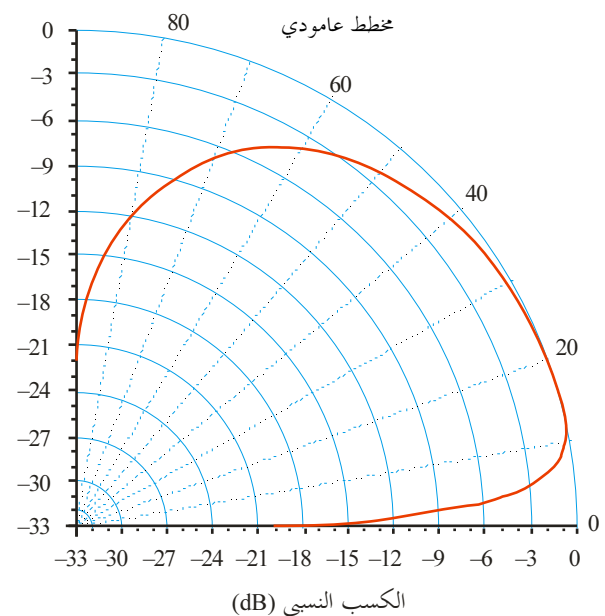
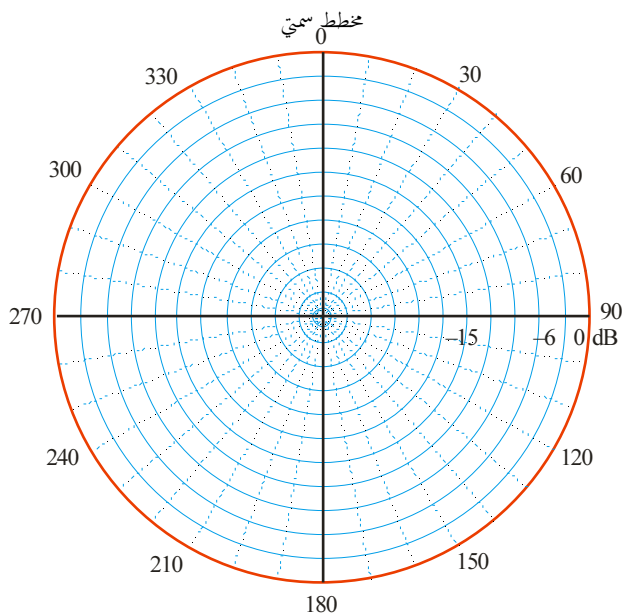
مخططات نظرية لهوائيات الرادارات الأوقianoغرافية
(صفيف رأسي من 4 وحدات أحادية القطب)



M.1874-06

الشكل 7

مخططات نظرية لهوائيات الرادارات الأوقianoغرافية
(أحادية الاتجاه؛ على اليسار: اتجاه زاوية السمت، على اليمين: عمودي)

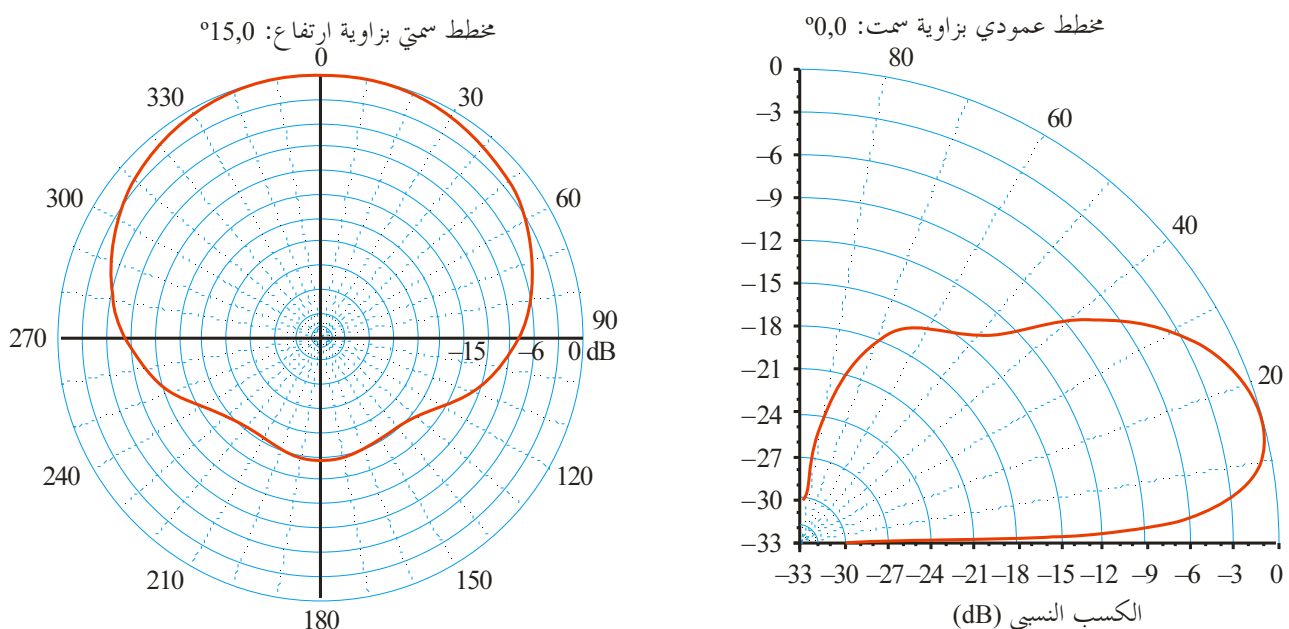


M.1874-07

الشكل 8

مخططات نطية لهوائيات الرادارات الأقليانوغرافية

(أحادية الاتجاه، ياغي ثلاثي العناصر؛ على اليسار: باتجاه زاوية السمت، على اليمين: عمودي)



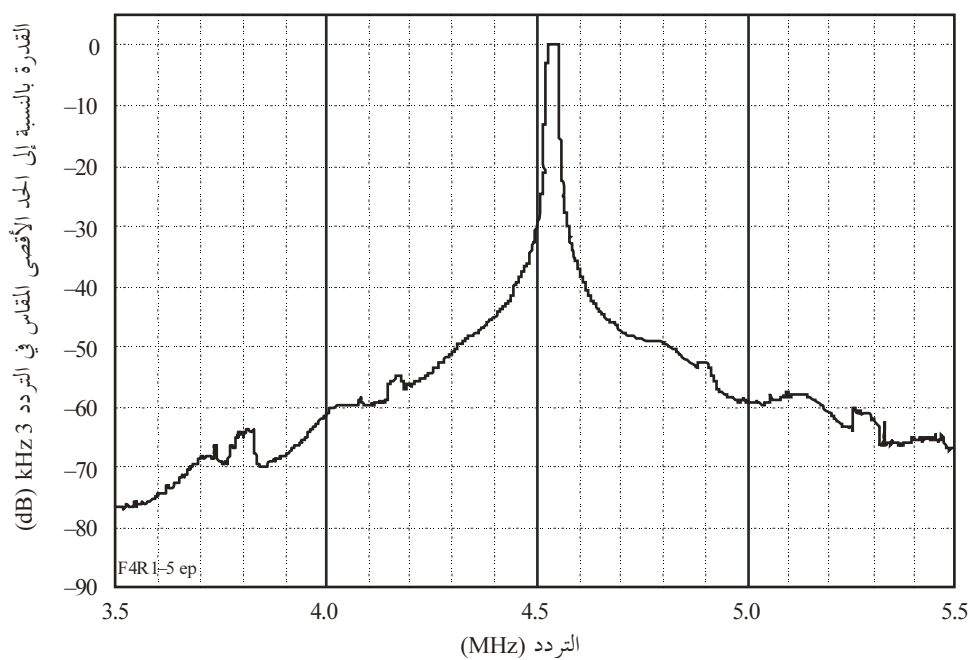
M.1874-08

4 بث المرسل

يبين الشكلان 9 و 10 البث النمطي للرادارات الأقليانوغرافية في التردددين 4,5 MHz و 24 MHz.

الشكل 9

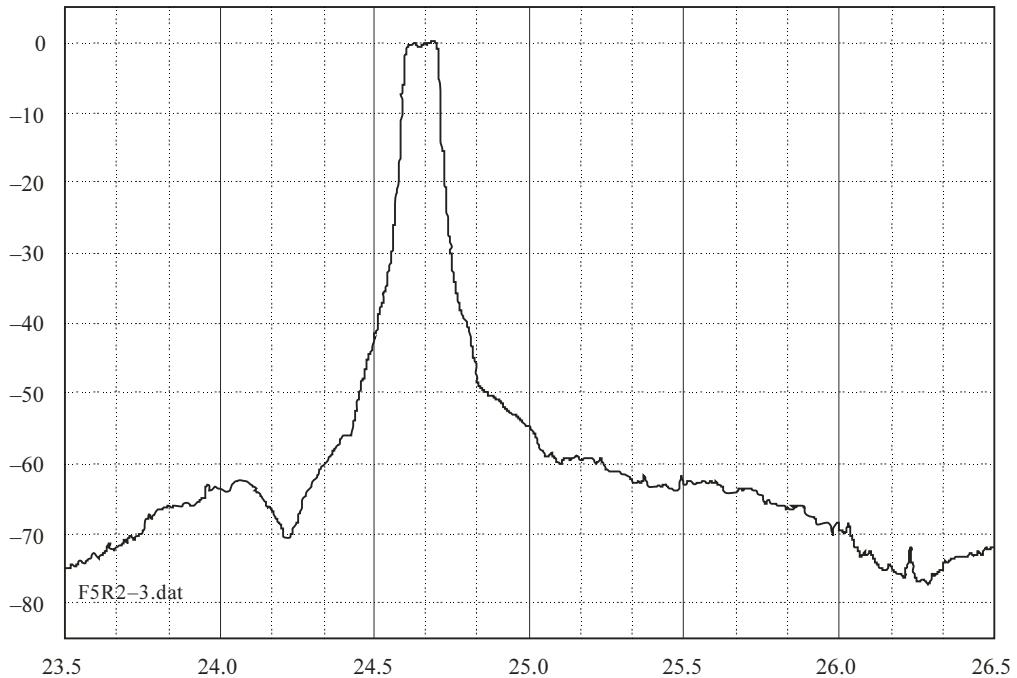
بث لرادار أقليانوغرافي في التردد 4,5 MHz



M.1874-09

الشكل 10

بث لرادار أقیانوغرافی فی التردد 24 MHz



M.1874-10

خصائص النظام

5

تحتوي الجداول من 2 إلى 4 على ملخص لخصائص الترددات الراديوية لأنظمة الرادار الأقیانوغرافی النمطية المستخدمة لرصد المحيطات في مدى تردد ما بين 3 إلى 50 MHz.

الجدول 2

خصائص الرادارات الأوقيانوغرافية العامة لرصد الخيطات باستخدام الموجة المستمرة المقطوعة بتشكيل التردد (FMICW)

النظام 4 MHz 42	النظام 3 MHz 25	النظام 2 MHz 13	النظام 1 MHz 5	الوحدات	الخصائص
قياسات أوقيانوغرافية عالية الاستبانة	قياسات أوقيانوغرافية معيارية	قياسات أوقيانوغرافية طويلة المدى			الوظيفة
25-15 (المتوسط خلال فترة النهار) ⁽²⁾	50-30 (المتوسط خلال فترة النهار) ⁽²⁾	90-60 (المتوسط خلال فترة النهار) ⁽²⁾	200-170 (المتوسط خلال فترة النهار) ⁽²⁾	km	أقصى مدى (قياسات) تشغيلي ⁽¹⁾
⁽³⁾ 1-0,3	⁽³⁾ 2-0,3	⁽³⁾ 3-2	⁽³⁾ 12-3	km	مدى استبانة المدى الذي يمكن للمستعمل اختياره
⁽³⁾ 125	⁽³⁾ 100	⁽³⁾ 50	⁽³⁾ 25	kHz	عرض النطاق النمطي للكنس
⁽⁴⁾ 44-40	⁽⁴⁾ 27-24	⁽⁴⁾ 14-12	⁽⁴⁾ 6-4	MHz	مدى التردد ⁽⁴⁾
50 (100)80		50 80		W	قدرة الذروة النمطية المستعملة أقصى قدرات للنظام - قدرة الذروة في الهوائي
100-30	600-300		2 000-1 000	μs	عرض النسبة
	50			%	أقصى دورة عمل
16/8	16		32/16	μs	زمن ارتفاع/انخفاض النسبة (μs)
	رقمي				أسلوب توليف المرسل
	رقمي				أسلوب توليف المستقبل
Gated FET (تشغيل الفتحة AB)					جهاز الخرج
0,001				ppm	استقرار المرسل
0,001				ppm	استقرار المستقبل
أحادي الاتجاه (في المستوى الأفقي)					نمط مخطط هوائي المرسل
أحادي الاتجاه بربع موجة ذو مستوى أرضي					نمط هوائي المرسل

الجدول 2 (تممة)

النظام 4 MHz 42	النظام 3 MHz 25	النظام 2 MHz 13	النظام 1 MHz 5	الوحدات	الخصائص
		عمودي			استقطاب الهوائي
		8		dBi	كسب الهوائي في الحزمة الرئيسية
		35		درجة	عرض حزمة ارتفاع هوائي المرسل
		أحادية الاتجاه			عرض نطاق حزمة زاوية السمت لهوائي المرسل
		هوائي ثابت			معدل الكنس الأفقي لهوائي المرسل
1,2	2	4	10	m	ارتفاع هوائي المرسل
		ذو قطبين كهربائي ومحنتيسي			نمط مخطط هوائي المستقبل
		عروتان متقطعتان وقطب أحادي في شكل وحدة واحدة			نمط هوائي المستقبل
		عمودي			استقطاب هوائي المستقبل
		5		dBi	كسب الهوائي في الحزمة الرئيسية للمستقبل
		45		درجة	عرض حزمة ارتفاع هوائي المستقبل
		360-90		درجة	عرض حزمة زاوية السمت لهوائي المستقبل
		هوائي ثابت			معدل الكنس الأفقي لهوائي الاستقبال
		4		m	ارتفاع هوائي الاستقبال
		500		Hz	عرض النطاق dB 3 متوسط التردد للمستقبل
		12 بنبض		dB	رقم ضوضاء المستقبل
		RBW Hz 500) 147–(5) (المستوى المحدد لضوضاء النظام		dBm	أدنى إشارة يمكن تمييزها

الجدول 2 (تممة)

النظام 4 MHz 42	النظام 3 MHz 25	النظام 2 MHz 13	النظام 1 MHz 5	الوحدات	الخصائص
		1,0 إلى 0,5		ثانية (s)	فاصل الكنس
128 170	105 150	54 70	26 58	kHz	عرض نطاق بث المرسل dB 3 dB 20
نعم					إلغاء التوافق

(1) يعتمد المدى على عدد العوامل البيئية: الضوضاء البيئية والارتفاع الكبير في الأمواج، وسرعة التيار وموقع الرادار (مثل قربه من المياه ووجود موانع قرية) والتردد التشغيلي.

(2) ينخفض المدى اختصاراً كبيراً أثناء فترة الليل.

(3) في حين يمكن ضبط عرض نطاق الكنس (عرض النطاق الأعلى يفرز بيانات ذات درجة استبابة أعلى)، فإن الأنظمة تعمل عادةً عند المستوى النمطي لعرض نطاق الكنس المحدد نظراً لحدودية عرض النطاق المتاح وضرورة التعامل مع الأنظمة الراديوية الأخرى.

(4) تحدد مدى التردد اللازم لتحقيق الأداء الأمثل من منظور علمي. وليس هناك حاجة إلى كامل مدى التردد لأغراض العمليات.

(5) اختصار المصطلح عرض نطاق الاستبابة. RBW

الجدول 3

خصائص الرادارات الأقيانوغرافية العامة للموجة المستمرة بتشكيل التردد (FMCW)

النظام 9 MHz 42	النظام 8 MHz 25	النظام 7 MHz 16	النظام 6 MHz 12	النظام 5 MHz 8	الوحدات	الخصائص
قياسات أقيانوغرافية قصيرة المدى وتنسم بأفضل استبابة	قياسات أقيانوغرافية عالية الاستبابة	قياسات أقيانوغرافية معيارية	قياسات أقيانوغرافية طويلة المدى	قياسات أقيانوغرافية ذات مدى شديد الطول		الوظيفة
20-10 (المتوسط خلال فترة النهار) ⁽¹⁾	60-30 (المتوسط خلال فترة النهار) ⁽¹⁾	100-50 (المتوسط خلال فترة النهار) ⁽¹⁾	150-100 (المتوسط خلال فترة النهار) ⁽¹⁾	300-150 (المتوسط خلال فترة النهار) ⁽¹⁾	km	أقصى مدى (قياسات) تشغيلي
0,5-0,15	2-0,5 وضع استبابة عالية: km 0,25	3-1 وضع استبابة عالية: km 0,5	3-1	12-3	km	استبابة المدى
1 000-300	75-600	50-300	50-150	12,5-50	kHz	عرض مدى الكنس

الجدول 3 (تابع)

النظام 9 MHz 42	النظام 8 MHz 25	النظام 7 MHz 16	النظام 6 MHz 12	النظام 5 MHz 8	الوحدات	الخصائص
44-40	27-24	18-14	14-11	9-6	MHz	مدى التردد
30 لكل هوائي 7 لا نبض					W	متوسط القدرة في الهوائي (= قدرة الذروة)
موجة مستمرة						أقصى دورة عمل
موجة مستمرة						زمن ارتفاع/انخفاض النبضة
(DDS) رقمي						أسلوب توليف المرسل
(DDS) رقمي						أسلوب توليف المستقبل
حالة صلبة، ثنائي الأقطاب (تشغيل الفتحة AB)						جهاز الخرج
0,1/ السنة					ppm	استقرار المرسل
0,1/ السنة					ppm	استقرار المستقبل
اتجاهي °60± طاقة داخل نطاق الحزمة < 90%						نمط مخطط هوائي المرسل
صفيف مستطيل من أربع وحدات أحادية القطب رئيسية 0,15 × 0,5						نمط هوائي المرسل
عمودي						استقطاب هوائي
5 إلى 8					dBi	كسب هوائي في الحزمة الرئيسية
35 إلى 25					درجة	عرض حزمة ارتفاع هوائي المرسل
120 هوائي ثابت					درجة	عرض حزمة زاوية السمت هوائي المرسل
						معدل المسح الأفقي هوائي المرسل

الجدول 3 (تممة)

النظام 9 MHz 42	النظام 8 MHz 25	النظام 7 MHz 16	النظام 6 MHz 12	النظام 5 MHz 8	الوحدات	الخصائص
2>	3>	4>	6>	10>		ارتفاع هوائي المرسل (m)
اتجاهي عرض حرمة يبلغ $\pm 3^{\circ}$ إلى $\pm 15^{\circ}$						نط مخطط هوائي المستقبل
صفيف من وحدات أحادية القطب (4 إلى 6 أقطاب أحادية)						نط هوائي المستقبل
عمودي						استقطاب هوائي المستقبل
10 إلى 18					dBi	كسب الهوائي في الحزمة الرئيسية للمستقبل
35					درجة	عرض نطاق ارتفاع هوائي المستقبل
6 إلى 30 حسب حجم الصفييف					درجة	عرض حرمة زاوية السمت هوائي المستقبل
هوائي ثابت						معدل المسح الأفقي هوائي المستقبل
2>	3>	4>	6>	10>	m	طول/ارتفاع هوائي المستقبل
لا يستخدم تردد متوسط. عرض النطاق للنطاق الأساسي 1,5					kHz	عرض النطاق dB 3 متوسط التردد للمستقبل
8					dB	رقم ضوضاء المستقبل
142– ⁽²⁾ RBW Hz 1 500 (المستوى المحدد لضوضاء النظام)					dBm	أدنى إشارة يمكن تمييزها
0,2 0,6 30					kHz	عرض النطاق dB 3 dB 20 dB 60 المحظي
60–>					dBc	إلغاء التوافق
250 إلى 130	500 إلى 130	500 إلى 200		ms		فاصل الكنس

(1) ينخفض المدى انخفاضاً كبيراً أثناء الليل.

(2) اختصار المصطلح عرض نطاق الاستبانة.

الجدول 4

النظام 13 MHz 41,9	النظام 12 MHz 24,5	النظام 11 MHz 24,5	النظام 10 MHz 9,2	الوحدات	الخصائص
قياسات أوقيانوغرافية عالية الاستبانة	قياسات أوقيانوغرافية معيارية	قياسات أوقيانوغرافية طويلة المدى			الوظيفة
25-20	70-50		300-200	km	أقصى مدى (قياسات) تشغيلي
0,5	1,5		6,8	km	استبانة المدى
300	100		22	kHz	عرض نطاق الكبس
41,9	24,5		9,2	MHz	مدى التردد
100	200	100	1 000	W	قدرة الذروة في الهوائي
280-244		488	1 330	μs	عرض النبضة
50				%	أقصى دورة عمل
(I) ممهد					زمن ارتفاع/انخفاض النبضة
رقمي					أسلوب توليف المرسل
رقمي					أسلوب توليف المستقبل
Gated FET (تشغيل فتاة AB)					جهاز الخرج
0,03/ السنة				ppm	استقرار المرسل
0,03/ السنة				ppm	استقرار المستقبل
اتجاهي					نمط مخطط هوائي المرسل
ياجي ثلاثي العناصر		ياجي ثلاثي العناصر			نمط هوائي المرسل
عمودي					استقطاب هوائي
6	15	8 أطقم ياجي ثلاثي العناصر	6	dBi	كسب الهوائي في المزمرة الرئيسية
25			30	درجة	عرض حزمة زاوية ارتفاع هوائي المرسل
120	15		120	درجة	عرض حزمة زاوية السمت هوائي المرسل

الجدول 4 (تممة)

النظام 13 MHz 41,9	النظام 12 MHz 24,5	النظام 11 MHz 24,5	النظام 10 MHz 9,2	الخصائص
هوائي ثابت	صفيف مطاور هوائي ثابت 60 دقيقة لكل 12 اتجاه	هوائي ثابت		معدل المسح الأفقي هوائي المرسل
14-2			10	m (2) ارتفاع هوائي المرسل
	اتجاهي			نمط مخطط هوائي المستقبل
8 أطقم من ياغي شائي ثلاثة العناصر عمودي	16 طقماً من ياغي شائي العناصر			نمط هوائي المستقبل
15		16	dB _i	كسب الهوائي في ارتفاع الحزمة الرئيسية للمستقبل
°25		30	درجة	عرض حزمة زاوية ارتفاع هوائي المستقبل
°15		10-8	درجة	عرض حزمة زاوية السمت هوائي المستقبل
⁽³⁾ DBF هوائي ثابت	صفيف مطاور هوائي ثابت 60 دقيقة لكل 12 اتجاه	⁽³⁾ DBF هوائي ثابت		معدل المسح الأفقي هوائي المستقبل
14-2		10	m (2) ارتفاع هوائي المستقبل	
200			Hz	عرض نطاق 3 dB متوسط التردد للمستقبل
13 مع النبض	12 مع النبض	17 مع النبض	dB	رقم ضوضاء المستقبل
⁽⁴⁾ RBW Hz 1) 161-	⁽⁴⁾ RBW Hz 1) 162-	⁽⁴⁾ RBW Hz 1) 157-	dBm	أدنى إشارة يمكن تمييزها
320	110	25	kHz	عرض نطاق بث المرسل
نعم				إلغاء التوافق
0,25	0,5	0,7	s	فاصل الكبس

⁽¹⁾ تشكّل حواف النبض للتحكم في طيفه. ويحدد الانحدار بشكل غير مباشر من خلال الطيف.

⁽²⁾ ارتفاع نقطة التغذية في صفييف الهوائي من مستوى أرضي.

⁽³⁾ تكون الحزمة الرقمية.

⁽⁴⁾ RBW اختصار لمصطلح عرض نطاق الاستبانة.

التذليل

دراسة حالة بشأن استخدام الرادارات الأوقيانوغرافية

كشف الانعكاس الرئيسي للموجات السطحية للتسونامي

1 نظرة عامة

في الساعة 1446 يوم 11 مارس 2011 بالتوقيت القياسي الياباني (JST)، ضرب زلزال شديد بقوة 9,0 درجات بمقياس ريختر شرق اليابان وهاجمت موجات التسونامي الصاحبة له ساحل المحيط الهادئ. ونود أن نعرب عن تعازينا للضحايا وعن شكرنا لما قدمه العالم لنا من مساعدة وغمنا به من تعاطف.

وتعرض هذه المساهمة الموجزة كيف تساعد الرادارات الأوقيانوغرافية في الكشف عن موجات التسونامي في منطقة ساحلية وتشدد على أهمية منح توزيعات جديدة لخدمة التحديد الراديوسي (الموقع) (RLS) من أجل تطبيقات الرادارات الأوقيانوغرافية إلى جانب الأحكام التنظيمية المناسبة لإمكانية التقاسم مع الخدمات القائمة لتمكين استعمال الطيف بأكبر كفاءة ممكنة والحد من التدخلات على الخدمات القائمة.

2 موجات التسونامي على ساحل المحيط الهادئ في اليابان

بلغ ارتفاع الاندفاع الأقصى أكثر من 39 m في منطقة الشمال الشرقي من اليابان (الشكل 11: صادر عن فريق المسح المشترك لتسونامي الزلزال بطوكيو، <http://www.coastal.jp/ttjt/>). وسجل ارتفاع التسونامي وعرض منطقة إغراقه رقمياً تاريخياً، حيث تأثرت به مساحة تزيد عن 500 km².

وقد وصلت أمواج التسونامي إلى منحدر الرصيف القاري جنوب قناة كيهي (Kii)، الجزء الغربي من اليابان (الشكل 12) حوالي الساعة 1620 يوم 11 مارس 2011 بالتوقيت القياسي الياباني، بعد ساعة ونصف تقريباً من وقوع الزلزال. وقد تسببت الاهتزازات المطولة والأقوى بالقناة في أضرار بالغة بالإغراق. وقد تم رصد ارتفاع لموجة من موجات الغمر مقداره 3,5 m تقريباً في ميناء تاشيبانا على الجانب الغربي من القناة. وفي ميناء كافيان (KA في الشكل 12) على الجانب الشرقي من القناة، بلغ أقصى ارتفاع للموجات نحو 2,6 m، وقد تم رصده بعد أربع ساعات ونصف تقريباً من وصول أول موجة من موجات التسونامي كما هو مبين في الشكل 13.

3 النظام المستعمل

تم الكشف بواسطة نظام رadar أوقيانوغرافي غطى، النظام 12 لهذه التوصية. وكان للرادار نظام هوائي اتجاهي (يتتألف من هوائي واحد للإرسال و 8 هوائيات للاستقبال من النمط ياغي يتكون كل منها من ثلاثة عناصر) بتكونين رقمي لللحزمة. وتبلغ استبانة السمت 7,5 درجة في زاوية التغطية البالغة ± 45 درجة. ويعمل النظام كموجة مستمرة مع تقطيعات بتشكيل التردد (FMICW) بتردد مركزي يساوي 24,515 MHz وعرض نطاق مسح يبلغ 100 kHz، يؤدي إلى استبانة في المدى تبلغ 1,5 km. وتسمح هذه المواصفات بكشف التيارات السطحية بتوزيع خاص يتسم باستانة زمانية مكانية مرتفعة.

وفي أسلوب التشغيل العادي، تفاصي خريطة السرعة الدائرية السطحية كل ساعة. وأكسلوب تشغيل مخصص، يسمح بالإرسال والاستقبال المستمر للإشارة بالحصول على خريطة السرعة كل 3-2 دقائق. وظل الرادار الأوقيانوغرافي يعمل بأسلوب التشغيل المخصص من الساعة 1700 يوم 11 مارس حتى الساعة 1630 يوم 19 مارس 2011، بالتوقيت القياسي الياباني.

ولم يستعمل في التحليل الرادار الأوقیانوغرافي فقط، بل استعملت كذلك بيانات ارتفاع سطح البحر في القناة (KA و KO) وعلى منحدر الرصيف القاري (WA). وتم الحصول على البيانات عند KA من خلال سلطة المعلومات الجغرافية المكانية باليابان، فيما تم الحصول على البيانات عند KO و WA من خلال الشبكة الوطنية لمعلومات أمواج المحيط من أجل الموانئ والمرافئ (NOWPHAS) وقدمتها وزارة الأراضي والبني التحتية والنقل والسياحة (MLIT).

4 نتائج الرصد

وصلت أولى موجات تسونامي إلى نقطة WA حوالي الساعة 1620 يوم 11 مارس 2011. ووصلت بعد ذلك إلى نقطة KO حوالي الساعة 1700 ومنطقة KA حوالي الساعة 1705 كما هو مبين في الشكل 13. ويمكن تفسير ارتفاع الموجة الأولى عند KA (cm 66) بضحلة الموجة عند WA (cm 63) على الرصيف القاري، في حين كان الارتفاع عند KO (cm 66) على الجانب الغربي من القناة مماثلاً تقريباً للارتفاع عند WA (cm 63) ويرجع أن يكون ذلك بسبب الجمع بين تأثيرات انكسار الموجات المستحدثة من زيادة الأعمال وضحالتها.

وقد تناقض ارتفاع الموجات في KO و WA تدريجياً بمرور الوقت وقل عن 15 cm الساعة 1200 يوم 12 مارس. وعلى النقيض من ذلك، فعلى الرغم من التناقض التدريجي لارتفاع الموجات من الأولى حتى الثالثة عند KA، فقد زادت سريعاً اعتباراً من الموجة الرابعة نتيجة للرنين الخاص بالموجات السطحية. وقد تم رصد ارتفاع أقصى للموجة وصل إلى 262 cm مع الموجة السابعة حوالي الساعة 2130 عند KA. وقد نتج عن الاهتزاز الرئيسي للموجات السطحية عند KA ارتفاع للموجات أعلى من 50 cm، تم رصده حوالي الساعة 1200 يوم 12 مارس.

ومن الموجة الأولى حتى الموجة الثالثة ذات اتساعات السرعة الدائرية الأكبر، سبقت الأطوار في المديات البعيدة تلك الموجودة في المديات الأقرب (الشكل 14). وقد تغيرت علاقة الطور تدريجياً بعد الموجة الثالثة وأصبحت خارج الطور اعتباراً من الساعة 2000 وحتى الساعة 2300 تلاها تكون علاقة متطرورة خلال المدى بالكامل المقدر بين km 1,5 و 30 km عبر حزمة الرادار نتيجة لوقوع رنين الموجات السطحية. وتغير علاقة الطور واضح في منحني التسلسل الزمني لقيم السرعة الدائرية عند HF-12K و HF-24K (الشكل 14). وفي الموجات من الأولى إلى الثالثة، تأخر الطور عند HF-12K عن الطور عند HF-24K بنحو 4 دقائق. ونتيجة لفارق في عمق المياه بين النقطتين البالغ 50 m، يقدر أن تستغرق رحلة التسونامي بين النقطتين نحو 8 دقائق، وهي مدة أقصر من التأخير الزمني المسجل، بما يشير إلى أن اتجاه انتشار الموجات الثلاث الأولى مختلف عن اتجاه حزمة الرادار.

5 الاستنتاجات

انتشرت موجات التسونامي من منحدر الرصيف القاري نحو الجزء الداخلي من قناة كي (Kii) في شكل موجات متواالية حتى الموجة الثالثة، تلاها حتى لاهتزازات طبيعية بواسطة الموجات. وتسبب ذلك في اهتزازات ثانوية في القناة وغمر للسواحل.⁵ ويعتقد أن الميزة الأساسية للرادار الأوقیانوغرافي تتمثل في المدى من الشاطئ الذي يمكن الكشف منه عن التسونامي، ومع ذلك يحتاج الأمر إلى مزيد من الدراسات التقنية والتشغيلية⁶.

⁵ Hinata, H. et.al., انتشار موجات التسونامي وإشارات الانعكاس الرئيسي اللاحقة المكتشفة برادار HF في قناة Kii، اليابان، علم المصبات والسوائل والأرصفة، 95: 268-273، 2011.

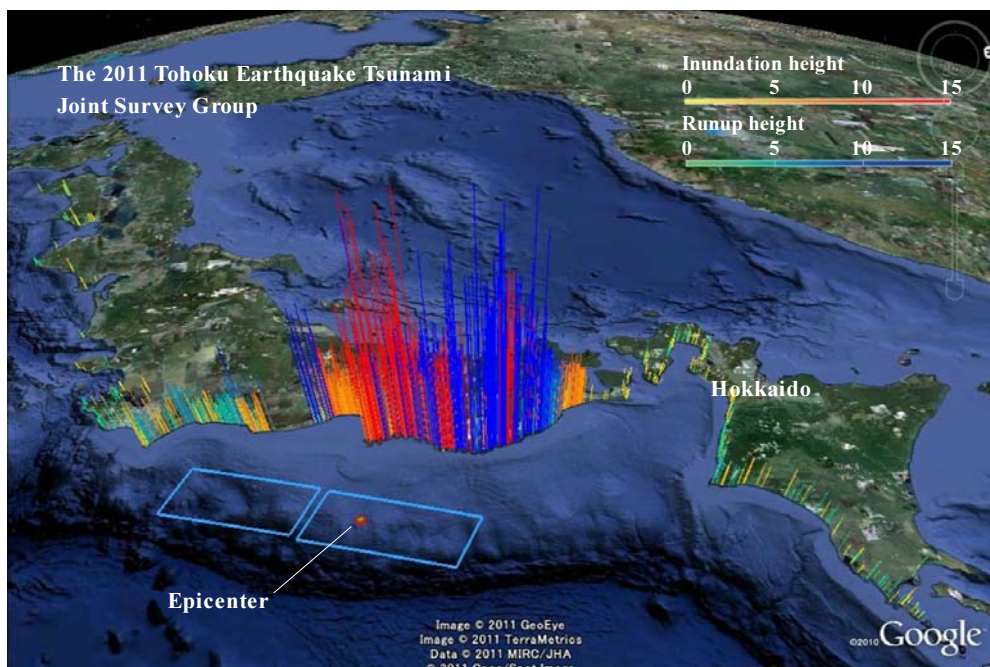
⁶ Lipa et al., تدفقات تيارات تسونامي اليابان المرصودة برادات HF من قارتين، الاستشعار عن بعد 3: 1663-1679، 2011.

⁷ HELZEL Messtechnik GmbH، الرادار الأوقیانوغرافي من النوع WERA الموجود في شيلي يرصد آثار للتسونامي بعد الزلزال الذي ضرب اليابان يوم 11 مارس، 2011، نشرة صحفية في مايو 2011، (<http://www.helzel.com/files/432/upload/Tsunami/Press-Release-Tsunami-WERA-2011.pdf>)

وتصيف النتائج دوراً جديداً للرادار الأوقيانوغرافي يتمثل في قياس المجالات التفصيلية للتغيرات السطحية باستثناء زمانية مكانية عالية لفهم العمليات التفصيلية للانعكاس الرئيسي لwaves tsunami في القنوات. ونظراً إلى أن الانعكاس الرئيسي يمكن أن يشير موجات أعلى من موجات الدخل الأصلية، وهذا أمر هام آخر للتأهب للكوارث غير المتوقعة.

الشكل 11

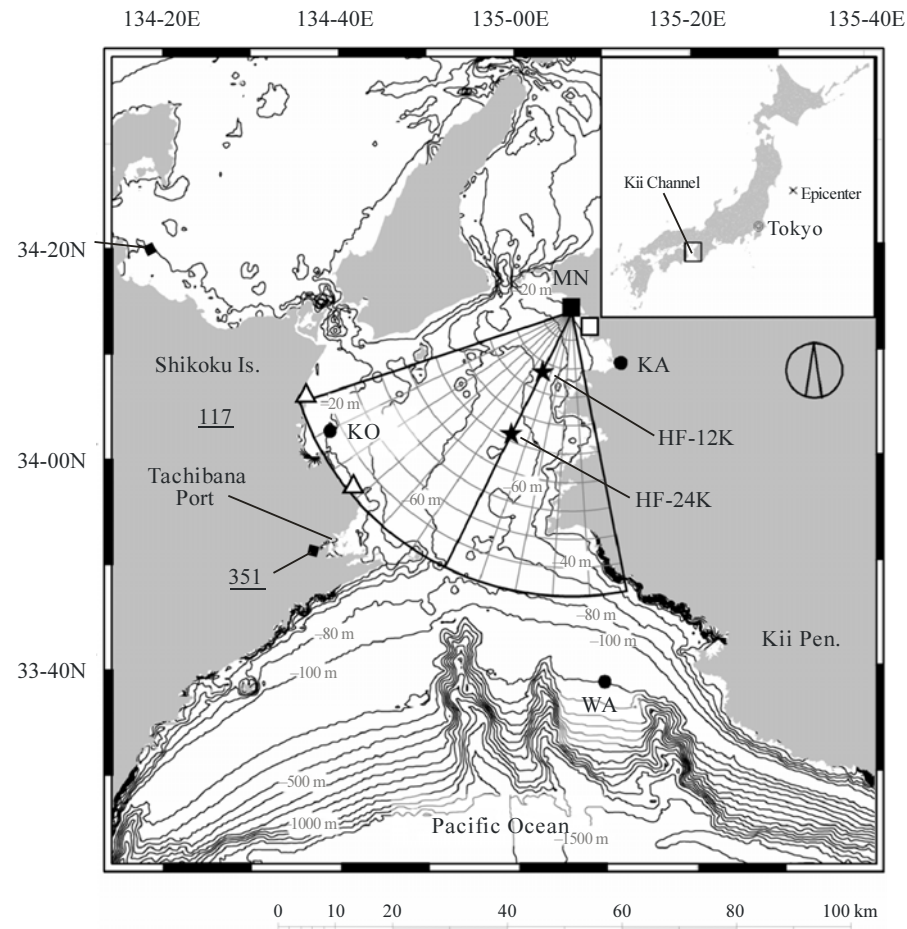
خرائط للغمmer وارتفاع الاندفاعات الناتجة عن تسونامي زلزال طوكيو
وفريق المسح المشترك (<http://www.coastal.jp/ttjt/>)



M.1874-11

الشكل 12

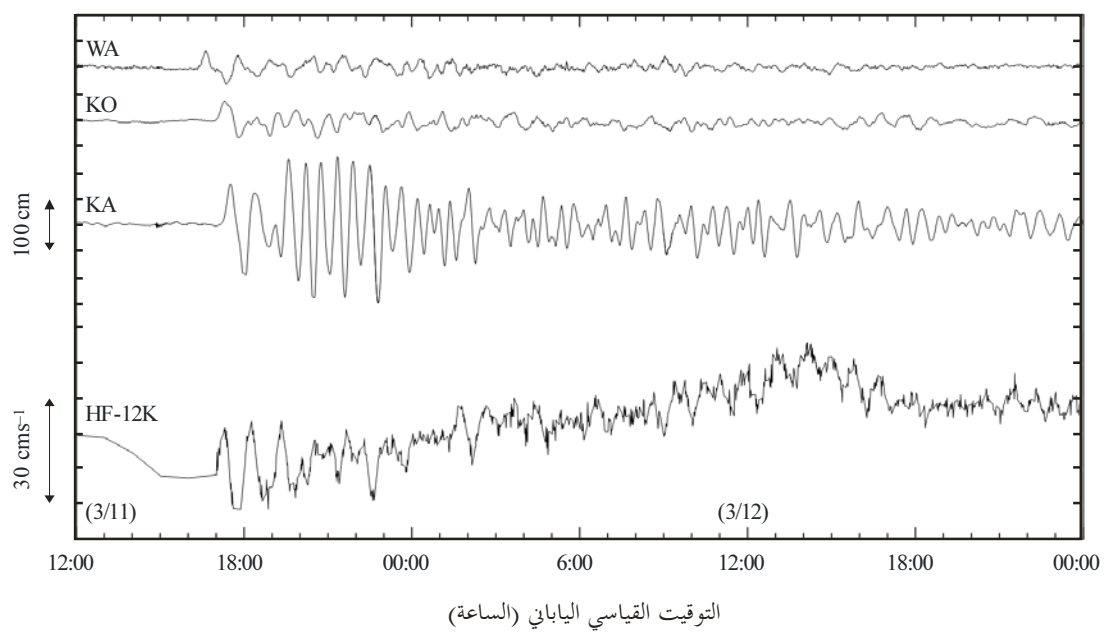
خرائط لأنظمة الرادارات الأقمارية (مربعات ومثلثات)
 وأنظمة رصد ارتفاع سطح البحر في قناة Kii،
 الساحل الغربي من اليابان



M.1874-12

الشكل 13

ارتفاع سطح البحر بالتفصيل عند WA و KO و KA
والسرعة الدائرية عند HF-12K (km 12) بعيداً عن الشاطئ من الرadar



الشكل 14

خططاً الزمن-المسافة (أعلى) والتسلسل الزمني (أسفل)
تقييم السرعات الدائرية لمدة 12 ساعة من الساعة 1700 يوم 11 مارس 2011

